

УДК 539.3

## **Матрица жесткости отсека анизотропной цилиндрической оболочки с произвольным поперечным сечением при изгибе, поперечном сдвиге и кручении**

Квак Чжэ Хван, Юн Хе Сок

### **Аннотация**

Некоторые отсеки упругих крыльев большого удлинения и лопастей несущих винтов вертолётов изготавливаются в виде анизотропных оболочек, чтобы связать деформации изгиба, поперечного сдвига и кручения. При изменении изгибающих моментов в этом случае можно соответствующим образом изменять углы закручивания поперечных сечений и тем самым управлять распределением аэродинамической нагрузки по размаху.

В данной работе на основе теории тонкостенных балок получено приближенное аналитическое решение для расчета напряженного состояния и определены матрицы податливости и жесткости отсека анизотропной цилиндрической оболочки с произвольным симметричным однозамкнутым контуром поперечного сечения при изгибе, поперечном сдвиге и кручении. Результаты этого решения для коэффициентов матрицы податливости отсека оболочки сравниваются с численным решением по методу конечных элементов.

### **Ключевые слова**

цилиндрическая оболочка; анизотропная оболочка; оболочка с произвольным поперечным сечением; тонкостенная балка; метод отсеков; матрица податливости; матрица жесткости.

### **1. Формулировка задачи**

Рассмотрим отсек анизотропной цилиндрической оболочки с симметричным относительно плоскости  $Oxz$  произвольным однозамкнутым поперечным сечением, рис. 1. Такую оболочку будем считать безмоментной. Она может быть подкреплена продольными элементами, работающими на растяжение-сжатие. На краях отсек имеет поперечные нервюры, которые считаются абсолютно жесткими в своей плоскости и абсолютно податливыми на изгиб.

Деформации срединной поверхности цилиндрической оболочки  $\varepsilon_x$ ,  $\varepsilon_s$ ,  $\gamma_{xs}$  выражаются через её перемещения  $u$ ,  $v$ ,  $w$  как

$$\varepsilon_x = \frac{\partial u}{\partial x}, \quad \varepsilon_s = \frac{\partial v}{\partial s} + \frac{w}{R}, \quad \gamma_{xs} = \frac{\partial u}{\partial s} + \frac{\partial v}{\partial x}, \quad (1.1)$$

где  $R(s)$  – радиус кривизны контура поперечного сечения.

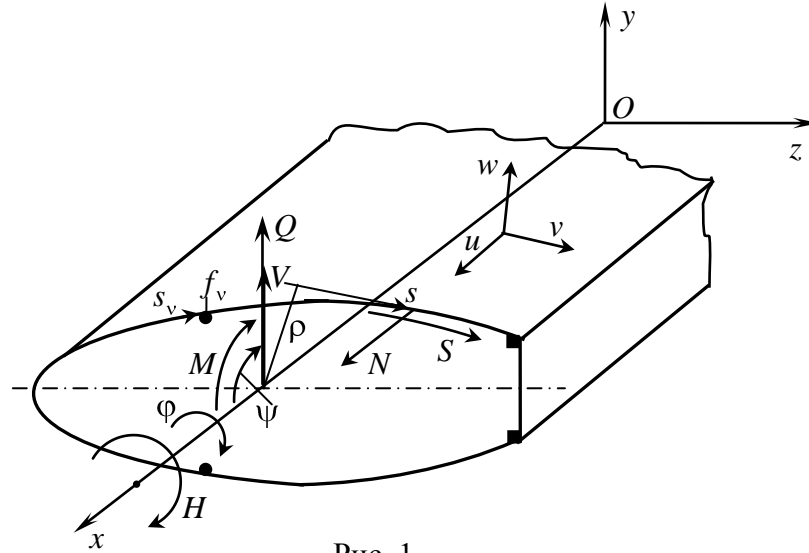


Рис. 1

Для безмоментной анизотропной оболочки напряжения  $\sigma_x$ ,  $\sigma_s$ ,  $\tau_{xs}$  и деформации связаны соотношениями закона Гука:

$$\begin{aligned} \sigma_x h = N_x &= B_{11}\varepsilon_x + B_{12}\varepsilon_s + B_{13}\gamma_{xs}, \\ \sigma_s h = N_s &= B_{21}\varepsilon_x + B_{22}\varepsilon_s + B_{23}\gamma_{xs}, \\ \tau_{xs} h = N_{xs} &= B_{31}\varepsilon_x + B_{32}\varepsilon_s + B_{33}\gamma_{xs}, \end{aligned} \quad (1.2)$$

где  $h$  и  $B_{ij} = B_{ji}$  – суммарная толщина и коэффициенты упругости слоистой анизотропной оболочки [1-3]. Здесь будем считать, что они зависят только от координаты  $s$ .

Коэффициенты  $B_{11}(s)$  содержат члены  $Ef_v\delta(s-s_v)$ , учитывающие продольные подкрепляющие элементы, проходящие вдоль образующих  $s=s_v$ ;  $E$ ,  $f_v$  – модуль упругости и площадь поперечного сечения  $v$ -го стрингера;  $\delta(\dots)$  – дельта функция.

Будем использовать одно из следующих допущений: 1)  $\varepsilon_s = 0$  или 2)  $N_s = 0$ . Первое из них представляет условие нерастяжимости контура, а второе следует из уравнения равновесия безмоментной оболочки в направлении нормали  $N_s/R = p$  при  $R \neq \infty$  и  $p \approx 0$ , где  $p$  – нормальная нагрузка.

При этих допущениях уравнения (1.2) записываются в виде

$$\begin{aligned} N_x = N &= B\varepsilon_x + C\gamma_{xs}, \\ N_{xs} = S &= C\varepsilon_x + D\gamma_{xs}, \end{aligned} \quad (1.3)$$

где

$$B = B_{11}, \quad C = B_{13}, \quad D = B_{33}, \quad w = -R \frac{\partial v}{\partial s} \quad \text{при} \quad \varepsilon_s = 0; \quad (1.4)$$

$$B = B_{11} - \frac{B_{12}B_{21}}{B_{22}}, \quad C = B_{13} - \frac{B_{12}B_{23}}{B_{22}}, \quad D = B_{33} - \frac{B_{23}B_{32}}{B_{22}}, \quad (1.5)$$

$$w = -R \left[ \frac{\partial v}{\partial s} + \frac{B_{12}}{B_{22}} \frac{\partial u}{\partial x} + \frac{B_{23}}{B_{22}} \left( \frac{\partial u}{\partial s} + \frac{\partial v}{\partial x} \right) \right] \quad \text{при} \quad N_s = 0.$$

Далее будем считать:  $B(x, y) = B(x, -y)$ ,  $C(x, y) = -C(x, -y)$ ,  $D(x, y) = D(x, -y)$ , где  $x = x(s)$ ,  $y = y(s)$ .

## 2. Определение усилий в оболочке

При изгибе-сдвиге отсека в плоскости  $Oxy$  и кручении относительно продольной оси  $x$  будем использовать гипотезу «балочной теории» тонкостенных конструкций, в соответствии с которой продольные деформации  $\varepsilon_x$  распределяются в поперечном сечении оболочки по закону плоскости, что соответствует свободной деформации поперечных сечений [2-4]. В рассматриваемом случае, учитывая, что деформированное состояние оболочки будет антисимметричным относительно плоскости  $xz$ , эта гипотеза записывается в виде

$$\varepsilon_x = b(x)y, \quad (2.1)$$

где  $b(x)$  – неизвестная функция.

Введем в поперечном сечении изгибающий момент  $M$ , перерезывающую силу  $Q$  и крутящий момент  $H$ , как равнодействующие погонных усилий  $N(x, s)$  и  $S(x, s)$ , рис. 1:

$$M = -\oint Ny ds, \quad Q = \oint S \frac{dy}{ds} ds = -\oint \frac{\partial S}{\partial s} y ds, \quad H = \oint S \rho ds, \quad (2.2)$$

где  $\rho(s)$  – расстояние от оси  $x$  до касательной к контуру в точке  $s$ .

Из уравнений (1.3) следует:

$$T = N - \frac{C}{D} S = B^* \varepsilon_x; \quad B^* = B - \frac{C^2}{D}. \quad (2.3)$$

Используя уравнения равновесия безмоментной оболочки

$$\frac{\partial N}{\partial x} + \frac{\partial S}{\partial s} = 0, \quad \frac{\partial S}{\partial x} = 0 \quad (2.4)$$

и соотношение (2.1), с учетом (2.3) получим

$$\frac{\partial S}{\partial s} = -b'(x)B^* y. \quad (2.5)$$

Интегрируя это уравнение по  $s$  учитывая выражения (2.2) для  $Q$  и  $H$ , найдем

$$S = Q\Phi(s) + \frac{H}{\Omega_1}, \quad (2.6)$$

где

$$\Phi(s) = -\frac{1}{EI} \left[ \int_0^s B^* y ds - \frac{1}{\Omega_1} \oint \left( \int_0^s B^* y ds \right) \rho ds \right], \quad (2.7)$$

$$EI = \oint B^* y^2 ds, \quad \Omega_1 = \oint \rho ds.$$

Из выражения (2.3) с учётом (2.1) получим  $N$  в зависимости от  $b(x)$  и  $S$  и затем из выражения (2.2) для  $M$  найдем

$$b(x) = -\frac{1}{EI} (M + d_0 Q + \frac{d_1}{\Omega_1} H); \quad (2.8)$$

$$d_0 = \oint \frac{C}{D} \Phi y ds, \quad d_1 = \oint \frac{C}{D} y ds. \quad (2.9)$$

Усилие  $T$  на основании (2.3), (2.1) и (2.8) записывается в виде

$$T = -\frac{B^* y}{EI} (M + d_0 Q + \frac{d_1}{\Omega_1} H). \quad (2.10)$$

### 3. Матрица жесткости отсека

Обобщенным силам, представляющим внутренние усилия  $M$ ,  $Q$ ,  $H$ , соответствуют энергетически эквивалентные обобщенные перемещения:  $\psi$  – угол поворота;  $V$  – поперечное перемещение и  $\varphi$  – угол закручивания поперечного сечения [4]. В качестве обобщенных координат свободного  $k$ -го отсека при  $k = 1$  возьмём значения обобщенных перемещений на его краях при  $x = 0$  и  $x = l_1$ :  $\psi_0$ ,  $V_0$ ,  $\varphi_0$ ,  $\psi_1$ ,  $V_1$ ,  $\varphi_1$ . Они показаны на рис. 2 вместе с соответствующими обобщенными силами:  $-M_0$ ,  $-Q_0$ ,  $-H_0$ ,  $M_1$ ,  $Q_1$ ,  $H_1$ . Задача заключается в том, чтобы записать потенциальную энергию деформации отсека при изгибе, сдвиге и кручении в обобщенных координатах.

Потенциальная энергия рассматриваемого первого ( $k = 1$ ) отсека анизотропной цилиндрической оболочки при соотношениях закона Гука (1.3) и обозначениях (2.3) записывается в виде

$$П_1 = \frac{1}{2} \int_0^{l_1} \oint \left[ \frac{T^2}{B^*} + \frac{S^2}{D} \right] ds dx. \quad (3.1)$$

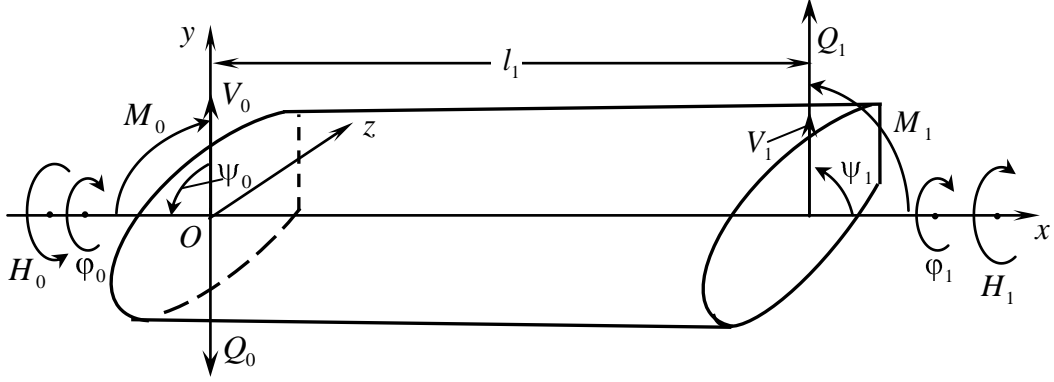


Рис. 2

Подставляя сюда выражения (2.6), (2.10), получим

$$\Pi_1 = \frac{1}{2} \int_0^{l_1} [\alpha_{11} M^2 + 2\alpha_{12} MQ + 2\alpha_{13} MH + \alpha_{22} Q^2 + 2\alpha_{23} QH + \alpha_{33} H^2] dx, \quad (3.2)$$

где

$$\alpha_{11} = \frac{1}{EI}, \quad \alpha_{12} = \frac{d_0}{EI}, \quad \alpha_{13} = \frac{1}{EI} \frac{d_1}{\Omega_1}, \quad \alpha_{22} = \frac{d_0^2}{EI} + \oint \frac{\Phi^2}{D} ds, \quad (3.3)$$

$$\alpha_{23} = \frac{1}{\Omega_1} \left( \frac{d_0 d_1}{EI} + \oint \frac{\Phi}{D} ds \right), \quad \alpha_{33} = \frac{1}{\Omega_1^2} \left( \frac{d_1^2}{EI} + \oint \frac{ds}{D} \right); \quad \alpha_{ij} = \alpha_{ji}.$$

Чтобы записать потенциальную энергию (3.2) в обобщенных координатах, можно воспользоваться принципом Кастильяно. Для этого надо удовлетворить уравнения равновесия отсеченной части отсека длиной  $l_1 - x$

$$M = M_1 + Q_1(l_1 - x), \quad Q = Q_1, \quad H = H_1 \quad (3.4)$$

и отсека в целом (рис. 2)

$$M_0 = M_1 + Q_1 l_1, \quad Q_0 = Q_1, \quad H_0 = H_1. \quad (3.5)$$

Тогда (3.2) записывается через  $M_1, Q_1, H_1$  в матричном виде

$$\Pi_1 = \frac{1}{2} \mathbf{Y}_1^T \mathbf{\Gamma}_1 \mathbf{Y}_1, \quad \mathbf{Y}_1^T = [M_1 \ Q_1 \ H_1]; \quad (3.6)$$

$\mathbf{\Gamma}_1 = [\gamma_{ij}]_{3 \times 3}$  – матрица податливости отсека, неподвижно закрепленного на краю  $x = 0$ ;

$$\gamma_{11} = \alpha_{11} l_1, \quad \gamma_{12} = \alpha_{11} \frac{l_1^2}{2} + \alpha_{12} l_1, \quad \gamma_{22} = \alpha_{11} \frac{l_1^3}{3} + \alpha_{12} l_1^2 + \alpha_{22} l_1, \quad (3.7)$$

$$\gamma_{13} = \alpha_{13} l_1, \quad \gamma_{23} = \alpha_{13} \frac{l_1^2}{2} + \alpha_{23} l_1, \quad \gamma_{33} = \alpha_{33} l_1; \quad \gamma_{ij} = \gamma_{ji}.$$

Вариация работы неизвестных реакций (обобщенных сил на краях отсека) с учетом (3.5) записывается как

$$\delta\bar{A}_1 = \delta M_1(\psi_1 - \psi_0) + \delta Q_1(V_1 - V_0 - l_1\psi_0) + \delta H_1(\varphi_1 - \varphi_0)$$

или в матричном виде

$$\delta\bar{A}_1 = \delta\mathbf{Y}_1^T \mathbf{B}_1 \mathbf{q}_1;$$

$$\mathbf{B}_1 = \begin{bmatrix} -1 & 0 & 0 & 1 & 0 & 0 \\ -l_1 & -1 & 0 & 0 & 1 & 0 \\ 0 & 0 & -1 & 0 & 0 & 1 \end{bmatrix}, \quad \mathbf{q}_1^T = [\psi_0 \ V_0 \ \varphi_0 \ \psi_1 \ V_1 \ \varphi_1]. \quad (3.8)$$

На основании принципа Кастильяно  $\delta\Pi - \delta\bar{A} = 0$  с учетом (3.6), (3.8) получим  $\delta\mathbf{Y}_1^T (\mathbf{\Gamma}_1 \mathbf{Y}_1 - \mathbf{B}_1 \mathbf{q}_1) = 0$ . Так как вариации компонент вектора  $\mathbf{Y}_1$  произвольны и независимы, то отсюда следует:

$$\mathbf{\Gamma}_1 \mathbf{Y}_1 - \mathbf{B}_1 \mathbf{q}_1 = \mathbf{0}, \quad \mathbf{Y}_1 = \mathbf{\Gamma}_1^{-1} \mathbf{B}_1 \mathbf{q}_1. \quad (3.9)$$

С учетом (3.9) выражение (3.6) записывается в виде

$$\Pi_1 = \frac{1}{2} \mathbf{q}_1^T \mathbf{K}_1 \mathbf{q}_1; \quad \mathbf{K}_1 = \mathbf{B}_1^T \mathbf{\Gamma}_1 \mathbf{B}_1. \quad (3.10)$$

Здесь  $\mathbf{K}_1 = [k_{ij}]_{6 \times 6}$  – симметричная матрица жесткости свободного первого отсека для вектора обобщенных координат  $\mathbf{q}_1$ . Для  $k$ -го отсека надо заменить индексы:  $1 \rightarrow k$ ,  $0 \rightarrow k-1$ .

#### 4. Пример расчета

В качестве примера рассмотрим четырехпоясный прямоугольный кессон, (рис. 3). Верхняя и нижняя панели кессона являются анизотропными с углом анизотропии  $\theta$ , где  $\theta$  – угол между направлениями  $x$  и  $1$ ;  $1, 2$  – направления осей ортотропии. Боковые стенки являются изотропными с модулем упругости  $E$  и коэффициентом Пуассона  $\mu$ . Модуль упругости поясов также равен  $E$ .

Примем следующие геометрические параметры отсека и характеристики материалов:

$$a = 0.5 \text{ м}, \quad c = 0.125 \text{ м}, \quad l_1 = 4 \text{ м}, \quad h = 0.01 \text{ м}, \quad h_1 = h_2 = 0.005 \text{ м}, \quad f_1 = f_2 = 0.000625 \text{ м}^2;$$

для боковых стенок –  $E = 7 \cdot 10^{10}$  Па,  $\mu = 0.3$ ; для осей ортотропии панелей –  $E_1 = 6.3 \cdot 10^{10}$  Па,  $E_2 = 1.5 \cdot 10^{10}$  Па,  $G_{12} = 0.47 \cdot 10^{10}$  Па,  $\mu_{12} = 0.0714$ ,  $\mu_{21} = 0.3$ .

Наряду с расчетами по «балочной теории» со свободной депланацией поперечных сечений для сравнения выполнены расчеты по МКЭ с достаточно мелкой сеткой при условии, что торцы отсека являются абсолютно жесткими (их депланация равна нулю).

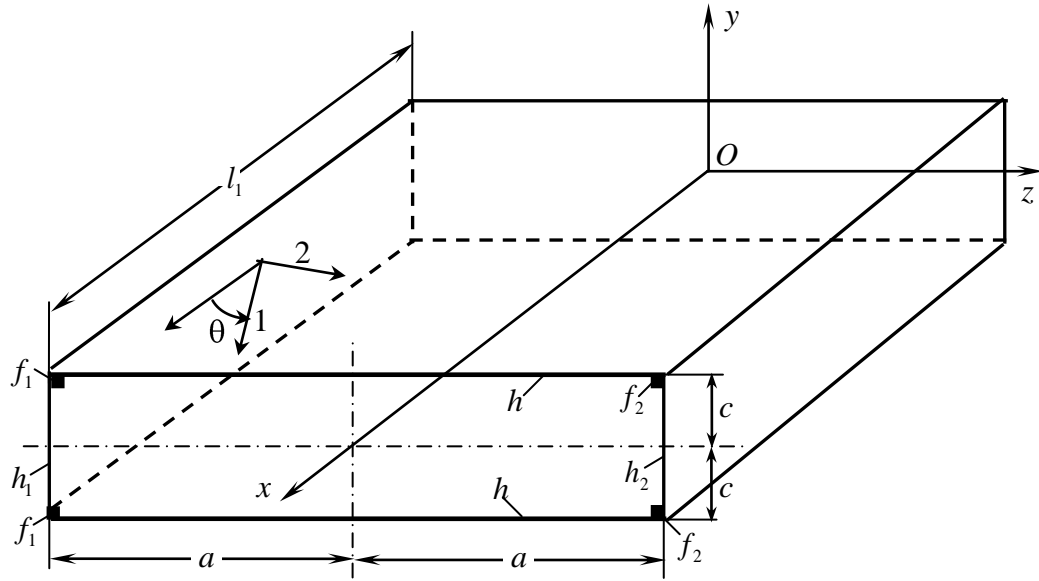


Рис. 3

Ниже приведены элементы симметричных матриц  $\Gamma_1 \cdot 10^7$ , т.е.  $\bar{\gamma}_{ij} = 10^7 \gamma_{ij}$  при  $i, j = 1, 2, 3$ , для случая нерастяжимых в поперечном направлении панелей ( $\varepsilon_s \rightarrow \varepsilon_z = 0$ ) при некоторых углах анизотропии  $\theta$  (рядом в скобках для сравнения приведены значения  $\bar{\gamma}_{ij}$  полученные по МКЭ):

$$1) \theta = 0^0 - \bar{\gamma}_{11} = 1.683 \quad (1.782), \quad \bar{\gamma}_{12} = 3.366 \quad (3.563), \quad \bar{\gamma}_{13} = 0 \quad (0), \quad \bar{\gamma}_{22} = 11.20 \quad (11.14), \\ \bar{\gamma}_{23} = 0 \quad (0), \quad \bar{\gamma}_{33} = 7.403 \quad (5.590);$$

$$2) \theta = \pm 20^0 - \bar{\gamma}_{11} = 2.860 \quad (2.781), \quad \bar{\gamma}_{12} = 5.721 \quad (5.563), \quad \bar{\gamma}_{13} = \pm 2.029 \quad (\pm 1.604), \quad \bar{\gamma}_{22} = 16.43 \\ (16.02), \quad \bar{\gamma}_{23} = \pm 4.059 \quad (\pm 3.202), \quad \bar{\gamma}_{33} = 5.221 \quad (4.454);$$

$$3) \theta = \pm 30^0 - \bar{\gamma}_{11} = 3.574 \quad (3.536), \quad \bar{\gamma}_{12} = 7.148 \quad (7.072), \quad \bar{\gamma}_{13} = \pm 2.013 \quad (\pm 1.681), \quad \bar{\gamma}_{22} = 19.99 \\ (19.85), \quad \bar{\gamma}_{23} = \pm 4.026 \quad (\pm 3.362), \quad \bar{\gamma}_{33} = 3.951 \quad (3.655).$$

Аналогичные результаты получены по «балочной теории» для случая, когда для панелей вместо  $\varepsilon_s \rightarrow \varepsilon_z = 0$  используется допущение  $N_s \rightarrow N_z = 0$ :

$$1) \theta = 0^0 - \bar{\gamma}_{11} = 1.714, \quad \bar{\gamma}_{12} = 3.429, \quad \bar{\gamma}_{13} = 0, \quad \bar{\gamma}_{22} = 11.35, \quad \bar{\gamma}_{23} = 0, \quad \bar{\gamma}_{33} = 7.403;$$

$$2) \theta = \pm 20^0 - \bar{\gamma}_{11} = 3.135, \quad \bar{\gamma}_{12} = 6.269, \quad \bar{\gamma}_{13} = \pm 2.105, \quad \bar{\gamma}_{22} = 17.86, \quad \bar{\gamma}_{23} = \pm 4.210, \\ \bar{\gamma}_{33} = 5.242;$$

$$3) \theta = \pm 30^0 - \bar{\gamma}_{11} = 4.103, \quad \bar{\gamma}_{12} = 8.206, \quad \bar{\gamma}_{13} = \pm 1.928, \quad \bar{\gamma}_{22} = 22.80, \quad \bar{\gamma}_{23} = \pm 3.857, \\ \bar{\gamma}_{33} = 3.964.$$

Результаты расчета по «балочной теории» удовлетворительно согласуются с результатами расчета по МКЭ. Некоторые различия обусловлены, по-видимому, не только используемой гипотезой, но и тем, что в балочной модели все поперечные сечения могут свободно деформироваться, а в принятой здесь КЭ-модели торцевые сечения могут только перемещаться и поворачиваться, оставаясь плоскими.

## **5. Заключение**

Получено аналитическое решение задачи для расчета напряженного состояния анизотропной цилиндрической оболочки с произвольным симметричным однозамкнутым контуром поперечного сечения при изгибе, поперечном сдвиге и кручении на основе гипотезы «балочной теории» о плоском распределении в поперечных сечениях продольных деформаций. Это решение используется для определения матриц податливости и жесткости отсека такой оболочки при изгибе, поперечном сдвиге и кручении.

За счет угла анизотропии (углов укладки армирующих волокон композитной оболочки), как показывают расчеты можно управлять в определенных пределах углом закручивания отсека при его изгибе и поперечном сдвиге.

Полученные матрицы жесткости отсеков анизотропных оболочек (как укрупненных конечных элементов) могут быть использованы при составлении уравнений аэроупругости крыльев большого удлинения и лопастей несущих винтов вертолетов. Особенно эффективно с точки зрения аэроупругости использование таких отсеков в корневых частях крыльев и бесшарнирных лопастей, где изгибающие моменты имеют максимальные значения.

## **Библиографический список**

1. Строительная механика летательных аппаратов / И.Ф. Образцов, Л.А. Булычев, В.В. Васильев и др. – М.: Машиностроение, 1986. – 536 с.
2. Васильев В.В. Механика конструкций из композиционных материалов. – М.: Машиностроение, 1988. – 272 с.
3. Гришанина Т.В., Шклярчук Ф.Н. Динамика упругих управляемых конструкций. – М.: Изд-во МАИ, 2007. – 328 с.
4. Шклярчук Ф.Н. Динамика конструкций летательных аппаратов. – М.: МАИ, 1983. – 80 с.

## **Сведения об авторах**

Квак Чже Хван, аспирант Московского авиационного института (государственного технического университета).



125993, г. Москва, А-80, ГСП-3, Волоколамское ш., 4. т. +7-929-567-37-74; e-mail: [kjhno7@naver.com](mailto:kjhno7@naver.com).

Юн Хе Сок, аспирант Московского авиационного института (государственного технического университета).

125993, г. Москва, А-80, ГСП-3, Волоколамское ш., 4. т. +7-929-677-10-85; e-mail: [bkluvhs@naver.com](mailto:bkluvhs@naver.com).